

DOI:10.3971/j.issn.1000-8578.2011.01.003

环氧合酶-2 抑制剂对人舌鳞癌 Tca8113/BLM 细胞 MDR1/P-gp 表达的影响

李伟忠¹,王晓燕²,霍秋菊¹

Effect of Cyclooxygenase-2 Inhibitor on Expression of MDR1 mRNA and P-glycoprotein in Human Tongue Cancer Drug-resistance Cell Line Tca8113/BLM

LI Wei-zhong¹, WANG Xiao-yan², HUO Qiu-ju¹

1. Department of Stomatology, Nanfang Hospital, Southern Medical University, Guangzhou 510515, China, 2. Department of Pathology

Abstract: Objective To investigate the effect of celecoxib, a selective COX-2 inhibitor, on the expression of multidrug resistance gene (MDR1) and P-glycoprotein (P-gp) in human tongue cancer drug-resistance cell line Tca8113/BLM. **Methods** Human tongue squamous cell carcinoma cell line Tca8113 cells were repeatedly treated with BLM (30 μg/ml) to establish drug-resistant cell line Tca8113/BLM. The inhibitory effect of celecoxib on Tca8113/BLM cell line was determined by MTT assay. The expression of P-gp and MRP were detected by flow cytometry and RT-PCR, respectively. **Results** The MTT results suggested that celecoxib inhibited the growth and proliferation of Tca8113/BLM cell lines in dose-dependent manner. Celecoxib treatment also resulted in significant down-regulated expression of MDR1 mRNA and P-gp. **Conclusion** Celecoxib shows a significant effect on inhibiting expression of MDR1 mRNA and P-gp in Tca8113/BLM cells, this is probably related to enhancing the lethal effects of anticancer agents against carcinoma cells.

Key words: Cyclooxygenase-2 inhibitors; Squamous Cell Carcinoma; P-Glycoprotein; MDR genes

摘要:目的 探讨环氧合酶-2 抑制剂塞来昔布对人舌鳞癌耐药细胞系 Tca8113/BLM 细胞多药耐药基因和 P-糖蛋白表达的影响。**方法** 采用 BLM(30 μg/ml)反复 24h 暴露法处理人舌鳞癌细胞系 Tca8113 细胞,采用不同浓度的塞来昔布作用于 Tca8113/BLM 细胞,MTT 法检测细胞增殖活性,流式细胞仪测定 P-gp 的表达水平,RT-PCR 检测多药耐药基因 mRNA 的表达。**结果** 塞来昔布显著抑制 Tca8113/BLM 细胞增殖、下调 Tca8113/BLM 细胞 MDR1 基因表达,其作用呈剂量依赖关系。**结论** 塞来昔布以剂量依赖方式抑制人舌鳞癌耐药细胞系 Tca8113/BLM 细胞 MD11/P-gp 表达,并抑制细胞增殖,这种作用可能与 COX-2 抑制剂增强抗癌药物对肿瘤细胞的杀伤作用有关。

关键词: 环氧合酶-2 抑制剂; 鳞状细胞癌; P-糖蛋白; 多药耐药基因

中图分类号:R730.53; R739.86 文献标识码:A 文章编号:1000-8578(2011)01-0009-04

0 引言

化疗是舌癌重要的辅助治疗手段,但由于对化疗药物耐药性的产生和敏感度的降低,化学治疗往往难以达到理想的效果。研究认为,肿瘤细胞多药耐药性的产生,与肿瘤细胞多药耐药基因 (multi-drug resistance gene, MDR1) 及其编码产物 P-糖蛋白 (P-glycoprotein, P-gp) 的过度表达有关。MDR1 基因属于转运蛋白 ATP 结合家族,与细胞的多药

耐药表型有关,P-gp 是一种 ABC 超家族跨膜磷酸糖蛋白,可将多种复合物从细胞内转运至细胞外间隙,导致细胞内药物浓度降低,降低了药物的作用效果^[1-2]。近来发现,环氧合酶-2 (Cyclooxygenase-2, COX-2) 可以调节 MDR1 的表达,因而认为 COX-2 可能与药物抗药性的产生有关。本研究通过观察 COX-2 抑制剂对 Tca8113/BLM 细胞株的生长抑制及 MDR1/P-gp 的表达的影响,探讨 COX-2 抑制剂增强肿瘤细胞对抗癌药物敏感度的机制。

1 材料和方法

1.1 主要试剂

COX-2 抑制剂塞来昔布标准品 (International

收稿日期:2009-11-12;修回日期:2010-04-02

基金项目:广东省自然科学基金资助项目 (06024396)

作者单位:1. 510515 广州,南方医科大学南方医院口腔科,2. 病理科

作者简介:李伟忠(1962-),男,博士,副主任医师,主要从事头颈部肿瘤的研究

Laboratory, 美国), 用二甲基亚砜(dimethyl sulphoxide, DMSO)(Sigma, 美国)配成 100 mmol/L 的贮存液, -20℃保存备用。博来霉素(Bleomycin, BLM, 日本化药株式会社), 甲基噻唑基四唑(methyl thiazolyl tetrazolium, MTT)和 RPMI 1640(Amersco, 美国)。Trizol 试剂盒(Invitrogen, 美国)。RT-PCR 成套试剂盒(TaKaRa, 日本)。MDR1 和 β -actin 引物(上海生工生物工程)。鼠抗人 P-gp 抗体(一抗)及 FITC 标记的羊抗鼠 IgG(荧光二抗)抗体(BD Farmingen, 美国)。

1.2 博来霉素耐药株的建立

人舌鳞癌细胞系 Tca8113 由上海交通大学医学院附属第九人民医院口腔医学院建株, 南方医院口腔科实验室保存。按照文献介绍的方法^[3], 建立耐博来霉素细胞株 Tca8113/BLM, 采用大剂量博来霉素 24h 暴露法建立耐药细胞系 Tca8113/BLM, 用含 30 $\mu\text{g}/\text{ml}$ 博来霉素的培养液培养 Tca8113 细胞, 作用 24h 后, 弃培养液, D-Hank's 缓冲液洗 3 次, 换新鲜培养液, 待细胞恢复生长, 按上述方法处理细胞, 共 9 次。MTT 法检测平阳霉素的半数抑制浓度(IC_{50}), 当 IC_{50} 至逐渐稳定后, 撤药培养 1 月, MTT 法复检 IC_{50} , 以确定 Tca8113/BLM 耐药的稳定性。

1.3 MTT 法测定塞来昔布对 Tca8113/BLM 细胞增殖抑制作用

将 Tca8113/BLM 培养于含 10% 灭活胎牛血清的低糖 DMEM 培养液中, 以每孔 4×10^3 的密度接种于 96 孔培养板, 每组 4 个复孔, 置 5% CO₂ 培养箱内培养 24 h 后, 加入用低糖 DMEM 培养液稀释的塞来昔布, 其浓度分别为 10、20、40、80、160 $\mu\text{mol}/\text{L}$, 继续培养 24、48、72 h 后, 测定 570 nm 处的吸光度值(A_{570}), 计算细胞生长抑制率: 生长抑制率(%) = (1 - 实验组 A_{570} / 对照组 A_{570}) × 100%。

1.4 流式细胞术检测 P-gp 表达

调整细胞数量至 $3 \times 10^5/\text{ml}$, 取 6 ml, 接种于 50 ml 培养瓶中, 培养 24 h 后分别加入不同浓度为 0、20、40、80、160 $\mu\text{mol}/\text{L}$ 的塞来昔布, 每组 4 个复瓶。培养 24、48 h 后收获细胞。用胰蛋白酶消化细胞, 磷酸盐缓冲溶液(PBS)冲洗 3 次, 离心获取细胞后, 用 95% 乙醇 1 ml 固定 15 min, 加入 PBS 2 ml 离心洗涤 2 次, 加入细胞破膜液 0.5 ml, 10 min 后加入 PBS 2 ml 离心洗 1 次, 加入饱和剂量的鼠抗人 P-gp 抗体, 37℃孵育 40 min, 加入 PBS 离心洗 1 次, 加入羊抗鼠 IgG(1:20)封闭非特异结合位点, 加入 PBS 离心洗 1 次后, 每管加入 100 μl FITC 标记的羊抗鼠 IgG, 37℃孵育 40 min, 加入 PBS 离心洗 2 次, 最后加 PBS 500 μl 混匀细胞, 在流式细胞仪上检测 P-

gp 的表达阳性率。阴性对照组不加鼠抗人 P-gp 抗体, 只加入 FITC 标记的羊抗鼠 IgG。

1.5 RT-PCR 检测 MDR1 mRNA 的表达

Tca8113/BLM 细胞经不同浓度的塞来昔布处理 24h 后, 采用 Trizol 法提取细胞总 RNA, 以 β -actin 为内参照, 二步法 RT-PCR 检测 MDR1 基因 mRNA 表达情况。MDR1 上游引物 F: 5'-CCCAT-CATTGCAATAGCAGG-3', 下游引物 R: 5'-GT-TCAAACCTT-CTGCTCCTGA-3', 产物长度 167bp; β -actin 上游引物 F: 5'-CACCCAGCACAATGAAGAT-3', 下游引物 R: 5'-CAAATAAGCCATGCCAAT-3', 产物长度: 255 bp。PCR 产物扩增后进行凝胶电泳, 采用凝胶图像分析系统(Geldoc XR, BIO-RAD, USA)分析。

1.6 统计学方法

应用 SPSS 13.0 软件包进行分析, 数据采用均数 ± 标准差表示, 采用 one-way ANOVA 分析, 组间多重比较用 LSD 法。

2 结果

2.1 塞来昔布对 Tca8113/BLM 细胞的生长抑制作用

MTT 结果显示, 塞来昔布对 Tca8113/BLM 细胞具有明显的增殖抑制作用, 经 one-way ANOVA 分析显示, 随着浓度的增加, 其生长抑制作用也明显增强(P 均 = 0.000), 组间多重比较显示, 除 24 h 20 $\mu\text{mol}/\text{L}$ 组与 10 $\mu\text{mol}/\text{L}$ 组之间差异无统计学意义(P = 0.055), 其他各组与 10 $\mu\text{mol}/\text{L}$ 组相比, 差异均有统计学意义(P 值均 < 0.001), 见图 1。

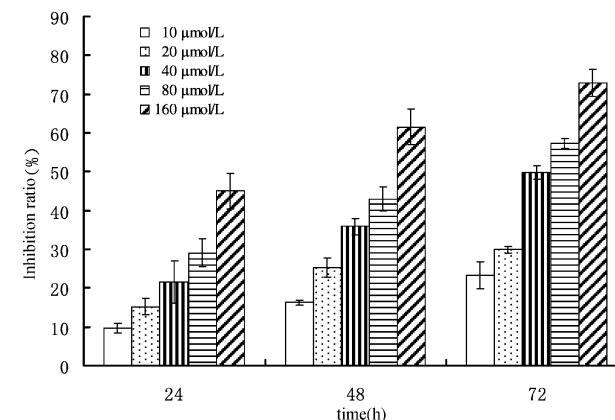


图 1 MTT 法检测塞来昔布对 Tca8113/BLM 细胞作用后的生长抑制作用

Figure 1 Effect of celecoxib on the growth of Tca8113/BLM cells measured by MTT assay

2.2 塞来昔布对 Tca8113/BLM 细胞 P-gp 蛋白表达的影响

流式细胞术结果显示, Tca8113 细胞 P-gp 阳性

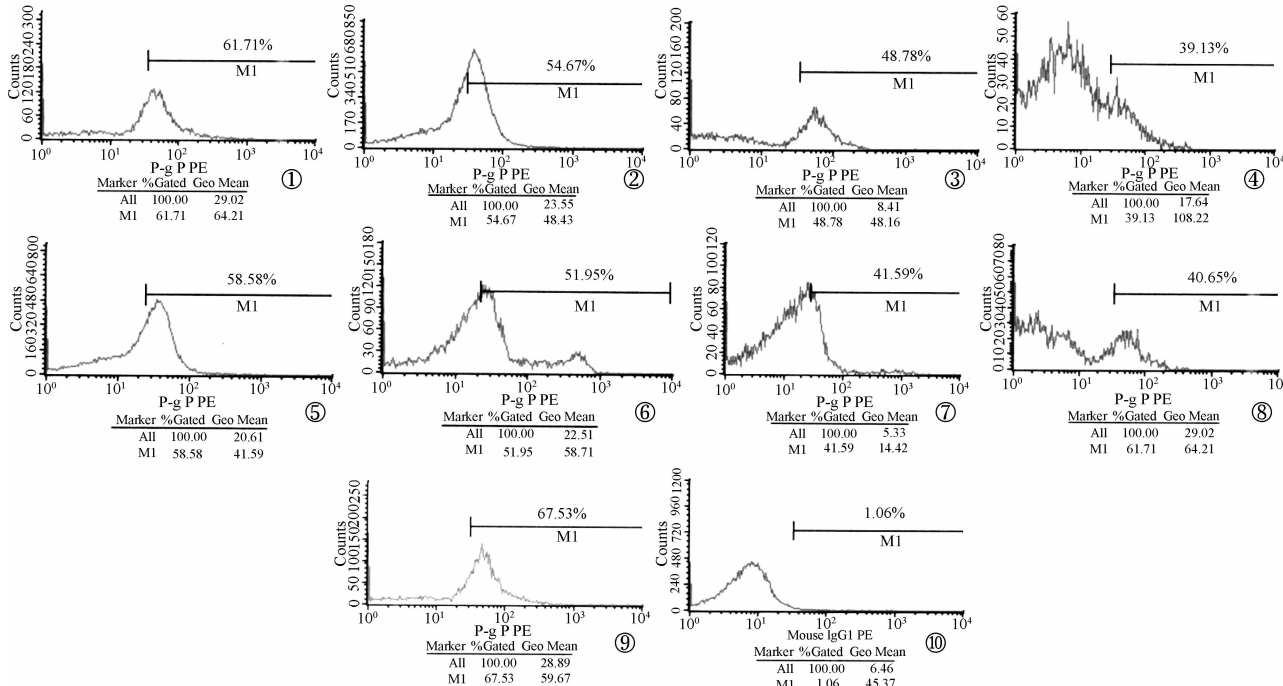
细胞表达率为 $(1.60 \pm 0.53)\%$, Tca8113/BLM 细胞 P-gp 阳性细胞表达率则明显增多, 当经不同浓度的塞来昔布处理 24、48 h 后, 可明显降低 P-gp 的合成, 且随浓度的增加而增强, 经方差分析, 差异有统计学意义($P = 0.000$), 各处理组与对照组相比, P-gp 表达的降低均有统计学意义(P 均 <0.01)。但塞来昔布处理后 48 h 与 24 h 相比, 除 20 和 80 $\mu\text{mol}/\text{L}$ 组间差异有统计学意义外, 其他各组差异无统计学意义, 见表 1、图 2。

表 1 塞来昔布对 Tca8113/BLM 细胞 P-gp 表达的影响

Table 1 Effect of celecoxib on expression of P-gp in Tca8113/BLM cells

Group ($\mu\text{mol}/\text{L}$)	<i>n</i>	Positive rate of the cells (%)	
		24 h	48 h
0(Control)	4	66.29 ± 0.99	62.99 ± 3.00
20	4	60.75 ± 1.15 ^a	58.28 ± 0.86 ^{b,d}
40	4	55.00 ± 0.52 ^{a,c}	54.38 ± 5.07 ^a
80	4	49.37 ± 0.62 ^{a,c}	42.31 ± 1.30 ^{a,c,e}
160	4	39.41 ± 1.21 ^{a,c}	38.77 ± 1.48 ^{a,c}
<i>F</i>		488.478	54.996
<i>P</i>		0.000	0.000

Note: ^a: $P < 0.01$, ^b: $P < 0.05$, compared with the control group; ^c: $P < 0.01$, compared with the 20 $\mu\text{mol}/\text{L}$ group; ^d: $P < 0.05$, ^e: $P < 0.01$, compared with the 24h group



①~④ The expression of cells treated with celecoxib with concentration of 20, 40, 80 and 160 $\mu\text{mol}/\text{L}$ for 24 h;

⑤~⑩ The expression of cells treated with celecoxib with concentration of 20, 40, 80 and 160 $\mu\text{mol}/\text{L}$ for 48 h;

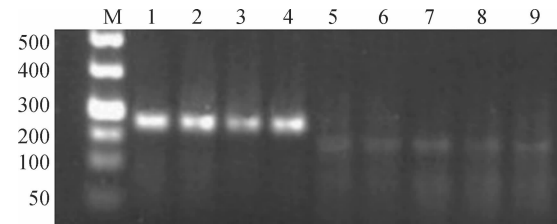
⑨ Control group; ⑩ Negative control

图 2 流式细胞术检测塞来昔布对 Tca8113/BLM 细胞 P-gp 蛋白的阳性表达率

Figure 2 The P-gp expression was measured using flow cytometry

2.3 细胞 MDR1 mRNA 的表达

塞来昔布处理前 Tca8113/BLM 细胞 MDR1 的半定量值为 (0.72 ± 0.02) , 采用 20、40、80 及 160 $\mu\text{mol}/\text{L}$ 的塞来昔布处理 24h 后, MDR1 的表达明显降低, 其值分别为 (0.59 ± 0.02) 、 (0.58 ± 0.03) 、 (0.55 ± 0.03) 和 (0.44 ± 0.02) , 与对照组相比, 差异均有统计学意义(P 值均 <0.01), 见图 3。



M: marker; 1~4: β -actin; 5: Control; 6~9: cells were treated with celecoxib with concentration of 20, 40, 80, 160 $\mu\text{mol}/\text{L}$

图 3 塞来昔布作用 Tca8113/BLM 细胞 24 h 后对 MDR1 mRNA 表达的影响

Figure 3 The electrophoresis results of MDR1 mRNA in Tca8113/BLM cells after treated with celecoxib for 24 h

3 讨论

P-gp 是由位于 7q21 的 MDR1 基因编码的跨膜糖蛋白, 由 1 280 个氨基酸组成, 相对分子质量为 170 kD,

属于转运蛋白 ATP 结合家族, 是一种三磷酸腺苷依赖性输出泵, 它可以将一些结构相似的物质从脑组织转运至血液, 以保护脑组织免受毒性物质的侵害^[4-5]。P-gp 除了能够清除有害物质外, 也将治疗性药物移出细胞, 从而阻止了药物在靶组织如中枢神经系统或肿瘤中的积累^[6]。P-gp 的过表达导致恶性肿瘤细胞多药耐药性的产生, 给肿瘤治疗带来困难, 抑制 P-gp 的作用可以促进抗肿瘤药进入 P-gp 表达的组织增加药物疗效, 这对筛选临床用药具有十分重要的意义^[7]。已有研究证实, 非甾体类抗炎药塞来昔布可以增强化疗药物的作用效果^[8-11], 这些药物大部分为 P-gp 的作用底物, 如多柔比星、长春新碱、依托泊甙、伊立替康、利培酮、瑞波西汀等^[12-13]。

非甾体类抗炎药是一种抗炎止痛药, 其作用机制是抑制 COX-1 和 COX-2 的表达^[14]。选择性 COX-2 抑制剂可选择性抑制 COX-2 酶的活性, 减少了胃肠道溃疡和出血的不良反应。研究证实, COX-2 抑制剂可以抑制多种肿瘤细胞的生长及诱导细胞凋亡, 并且可以增强肿瘤细胞对抗癌药物的敏感度。本实验及前期研究发现, 选择性 COX-2 抑制剂塞来昔布不但可以抑制人舌鳞癌 Tca8113 细胞的生长及诱导细胞凋亡, 并且可以增强抗癌药物对 Tca8113 细胞的杀伤作用^[15-16]。Awara 等^[9]实验证实, 尽管塞来昔布本身缺乏抗肿瘤活性, 但它可增强阿霉素的抗肿瘤作用。Hashitani 等^[9]证实塞来昔布可增强抗癌药物(P-gp 作用底物)特别是阿霉素和长春新碱诱导的细胞凋亡作用。Ponthan 等^[10]也证实塞来昔布与 P-gp 作用底物阿霉素、依托泊甙、伊立替康、长春新碱联合应用可产生协同或相加的细胞毒效应。这些研究均证实 COX-2 抑制剂增强抗癌药物的抗肿瘤作用与抑制 P-gp 的作用有关。Tegeder 等^[17]研究证实, NSAIDS 如布洛芬可以通过 COX-2 依赖途径抑制转录因子如核因子- κ B 和活化剂蛋白-1 的表达, 并随即下调节相关基因如 α (TNF- α)的表达来抑制炎性反应过程, 推断 MDR1 基因启动子可能含有 AP-1 和 NF- κ B 的结合位点, 这可能与 MDR1 基因的诱导作用有关, 而采用 NSAIDS 抑制这些因子可下调节 MDR1 基因的表达^[18], 其作用机制有待进一步研究。

综上所述, COX-2 抑制剂塞来昔布在抑制 Tca8113/BLM 细胞增殖的同时, 可降低 P-gp 和 MDR1 的表达, 这对探讨 COX-2 抑制剂在增强肿瘤化疗敏感度方面具有重要意义。

参考文献:

- [1] Yasui K, Mihara S, Zhao C, et al. Alteration in copy numbers of genes as a mechanism for acquired drug resistance [J]. Cancer Res, 2004, 64(4): 1403-1410.
- [2] Fromm MF. Importance of P-glycoprotein at blood-tissue barriers[J]. Trends Pharmacol Sci, 2004, 25(8): 423-429.
- [3] 何春梅, 王柯敏, 刘斌, 等. 舌癌细胞耐药系 Tca8113/BLM 的建立及其耐药机理的分析[J]. 中国癌症杂志, 2004, 14(5): 443-446.
- [4] Arancia G, Molinari A, Calcabrini A, et al. Intracellular P-glycoprotein in multidrug resistant tumor cells[J]. Ital J Anat Embryol, 2001, 106(2 Suppl 1): 59-68.
- [5] Bart J, Groen HJ, Hendrikse NH, et al. The blood-brain barrier and oncology: new insights into function and modulation [J]. Cancer Treat Rev, 2000, 26(6): 449-462.
- [6] Elsinga PH, Hendrikse NH, Bart J, et al. PET studies on P-glycoprotein function in the blood-brain barrier: how it affects uptake and binding of drugs within the CNS[J]. Curr Pharm Des, 2004, 10(13): 1493-1503.
- [7] Wang RB, Kuo CL, Lien LL, et al. Structure-activity relationship: analyses of P-glycoprotein substrates and inhibitors [J]. J Clin Pharm Ther, 2003, 28(3): 203-228.
- [8] Awara WM, El-Sisi AE, El-Sayed ME, et al. The potential role of cyclooxygenase-2 inhibitors in the treatment of experimentally-induced mammary tumour: does celecoxib enhance the anti-tumour activity of doxorubicin? [J]. Pharmacol Res, 2004, 50(5): 487-498.
- [9] Hashitani S, Urade M, Nishimura N, et al. Apoptosis induction and enhancement of cytotoxicity of anticancer drugs by celecoxib, a selective cyclooxygenase-2 inhibitor, in human head and neck carcinoma cell lines[J]. Int J Oncol, 2003, 23(3): 665-672.
- [10] Ponthan F, Wickström M, Gleissman H, et al. Celecoxib prevents neuroblastoma tumor development and potentiates the effect of chemotherapeutic drugs in vitro and in vivo[J]. Clin Cancer Res, 2007, 13(3): 1036-1044.
- [11] van Wijngaarden J, van Beek E, van Rossum G, et al. Celecoxib enhances doxorubicin-induced cytotoxicity in MDA-MB231 cells by NF- κ B-mediated increase of intracellular doxorubicin accumulation[J]. Eur J Cancer, 2007, 43(2): 433-442.
- [12] Zhu HJ, Wang JS, Markowitz JS, et al. Risperidone and paliperidone inhibit p-glycoprotein activity in vitro[J]. Neuropsychopharmacology, 2007, 32(4): 757-764.
- [13] Weiss J, Dormann SM, Martin-Facklam M, et al. Inhibition of P-glycoprotein by newer antidepressants[J]. J Pharmacol Exp Ther, 2003, 305(1): 197-204.
- [14] de Groot DJ, de Vries EG, Groen HJ, et al. Non-steroidal anti-inflammatory drugs to potentiate chemotherapy effects: from lab to clinic[J]. Crit Rev Oncol Hematol, 2007, 61(1): 52-69.
- [15] 李伟忠, 王晓燕, 丁彦青. 塞来昔布对 Tca8113 细胞环氧合酶-2 表达及诱导凋亡的作用[J]. 华西口腔医学杂志, 2009, 27(4): 374-377.
- [16] 李伟忠, 王晓燕, 李祖国, 等. 塞来昔布增强博来霉素对人舌鳞状细胞癌 Tca8113 杀伤作用的研究[J]. 中华口腔医学杂志, 2009, 44(3): 140-143.
- [17] Tegeder I, Pfeilschifter J, Geisslinger G. Cyclooxygenase-independent actions of cyclooxygenase inhibitors[J]. FASEB J, 2001, 15(12): 2057-2072.
- [18] Bentires-Alj M, Barbu V, Fillet M, et al. NF- κ B transcription factor induces drug resistance through MDR1 expression in cancer cells[J]. Oncogene, 2003, 22(1): 90-97.

[编辑:周永红;校对:黄园玲]